

- О п е к с и е н к о М.М. Тез. докл. 1 Всес. сов. по высокотемпературной сверхпроводимости, Харьков, 1988. Т.1. С. 199.
- [3] А л е к с а н д р о в К.С., В а с и л ь е в А.Д., З в я ги н ц е в С.А., П е т р о в М.И., Х р у с т а л е в Б.П. Препринт ИФАН № 475Ф, Красноярск, 1988.
- [4] Г у р е в и ч А.В., М и н ц Р.Г., Р а х м а н о в А.К. Физика композитных сверхпроводников. М.: Наука, 1987.

Харьковский физико-технический  
институт

Поступило в Редакцию  
11 июня 1990 г.

Письма в ЖТФ, том 17, вып. 2

26 января 1991 г.

05.1; 05.2

© 1991

## ВАН-ДЕР-ВААЛЬСОВСКИЕ ДИСПЕРСИОННЫЕ СИЛЫ МЕЖДУ ПЛАСТИНКАМИ ИЗ СЕЛЕНИДА ГАЛЛИЯ

Т.Р. М а х т и е в, В.П. Р а д и о н о в,  
А.М. А п и е в

Характерной особенностью кристаллического строения селенида галлия является слоистость. Слой предстают собой пакеты плотно упакованных монослоев, расположенных в последовательности анион-катион-катион-анион ( $Se - Ga - Ga - Se$ ), связанных сильными ионно-ковалентными взаимодействиями. Взаимодействия между слоями слабые, в основном Ван-дер-Ваальсовского типа. Последнее утверждение является недостаточно обоснованным, поскольку среди опубликованных работ отсутствуют сообщения о теоретических либо экспериментальных исследованиях Ван-дер-Ваальсовского взаимодействия в селениде галлия. В данной публикации приводятся результаты соответствующих исследований, проведенных на образцах  $Se-GaSe$  при  $T = 300$  К в вакууме. Методика эксперимента достаточно хорошо описана в работах [1, 2]. Точность измерения зазора между пластинками селенида галлия около 0,2 нм и обеспечивалась использованием оптического интерферометра. Толщина использованных пластинок  $GaSe$  – 1 мкм, радиус кривизны цилиндра  $R = 1$  см. Результаты экспериментов представлены на рисунке. В двойном логарифмическом масштабе приведена зависимость критического расстояния  $H$ -скачки от величины  $c/R$ , где

$c$  – жесткость пружины. Зависимость представляет собой пересечение двух наклонных прямых, отражающих две возможные ситуации Ван-дер-Ваальсовского взаимодействия:  $H \ll \lambda_0$  и  $H \geq \lambda_0$ , где  $\lambda_0$  – характерная длина волны. В первом случае наклон прямой определяется константой Хамакера  $A$ , которая, как следует из рисунка, в данном случае равна  $4.9 \cdot 10^{-12}$  эрг. Во втором случае существенными становятся эффекты запаздывания, и наклон прямой определя-

Зависимость критического расстояния скачка от величины  $(c/R)$ , представленная в двойном логарифмическом масштабе; зависимость показателя степени  $n$  от критического расстояния скачка.

ется константой  $B$ , которая, как следует из рисунка, равна  $0.25 \times 10^{-19}$  эрг см. Точка пересечения двух прямых лежит в области значений  $H$  около 100 нм.

На рисунке приведена также зависимость показателя степени от  $H$ -скачка. В области от 10 до 100 нм эта зависимость представляет собой плавный переход от значения  $n = 2$  до  $n = 3$ . До 10 нм и после 100 нм зависимость  $n$  от  $H$  отсутствует.

Оценка значения  $\varepsilon_0$  — статической диэлектрической проницаемости, соответствующей приведенным выше экспериментальным результатам, согласно работам [3, 4], дает величину 7.6. Сравнивая этот результат с [5], можно говорить о достоверности полученных для  $GaSe$  результатов.

Оценим теперь величины Ван-дер-Ваальсовской энергии для межспециевого взаимодействия и поляризуемости атомов в  $GaSe$ , используя соотношения

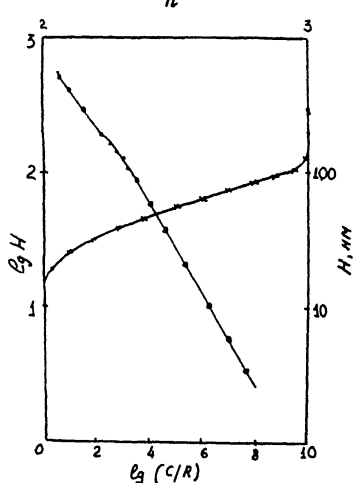
$$E_{BB} = \frac{L}{R^6}; \quad L = A/\pi^2 m^2; \quad \alpha = 2\sqrt{\frac{L}{3I}},$$

где  $m$  — число молекул в  $1 \text{ см}^3$ ,  $A$  — константа Хамакера для  $GaSe$ ,  $R$  — расстояние ( $Se - Se$ ) между споями,  $I$  — ионизационный потенциал. Число молекул в  $1 \text{ см}^3$  определяется на основе данных работы [6], там же имеется значение  $R(Se-Se)_{\text{м.сл.}}$  для  $\varepsilon - GaSe$ . Ионизационный потенциал в случае  $\varepsilon - GaSe$  равен примерно 13.6 эВ.

Таким образом, оказывается, что  $E_{BB} = -0.227$  эВ и  $\alpha = 0.85 \cdot 10^{-22} \text{ см}^3$ . Полученное значение энергии Ван-дер-Ваальсского взаимодействия вызывает интерес и, по-видимому, будет предметом наших дальнейших исследований при изучении межспециевых взаимодействий в селениде галлия.

#### Список литературы

- [1] Tabor D., Winterton R.H.S // Proc. Roy. Soc. A. 1969. V. 312. P. 435.
- [2] Israelachvili J.N., Tabor D. // Nature Physical. Science, Vd236, 68. 106. 1972.



- [3] Ditchburn R.W. Light 1952. London.  
Blackie And Sov.
- [4] Krupp H. // Adv. Colloid Interface. Sci. 1967.  
V. 1. P. 111.
- [5] Leung P.C., Anderman G., Spitzer W.G., Mead C.A. // J. Phys. Chem. Sol. 1966. V. 27. P. 849.
- [6] Kuhn A., Chevy A., Chevalier R. // Phys. Stat. Sol. 1975. A-31. P. 469.

Институт физики  
АН АзССР, Баку

Поступило в Редакцию  
9 октября 1990 г.

Письма в ЖТФ, том 17 ,вып. 2

26 января 1991 г.

01; 06.3; 07

© 1991

## БИФУРКАЦИИ ВЕТВЛЕНИЯ ВЕКТОРНЫХ СОЛИТОНОВ ОГИБАЮЩИХ

В.М. Елеонский, В.Г. Королев,  
Н.Е. Кулагин, Л.П. Шильников

В предыдущей работе (2) рассматривались ветвления сложных векторных солитонов в нелинейном двупучепреломляющем волокне в случае равных фазовых скоростей волн двух поляризаций. Рассмотрим основные результаты для общего случая различных фазовых скоростей.

Система нелинейных уравнений Шредингера

$$\begin{aligned} i\psi_{1,\tau} + \psi_{1,\xi\xi} + 2(\alpha|\psi_1|^2 + |\psi_2|^2)\psi_1 &= 0, \\ i\psi_{2,\tau} + i\delta\psi_{2,\xi} + \psi_{2,\xi\xi} + 2(c|\psi_2|^2 + |\psi_1|^2)\psi_2 &= 0 \end{aligned} \quad (1)$$

определяет динамику волн огибающих с поляризациями  $\psi_1, \psi_2$  и фазовыми скоростями  $v_1, v_2$  ( $\delta \sim v_2 - v_1$ ) в нелинейной среде с параметрами нелинейности  $\alpha, c$  [1]. Уравнения (1) допускают выделение стационарных решений вида

$$\psi_1(\xi, \tau) = e^{i\lambda_1 \tau} \chi_1(\xi); \quad \psi_2(\xi, \tau) = e^{i\lambda_2 \tau + i\delta \xi/2} \chi_2(\xi). \quad (2)$$

Функции  $\chi_1, \chi_2$  удовлетворяют системе уравнений: